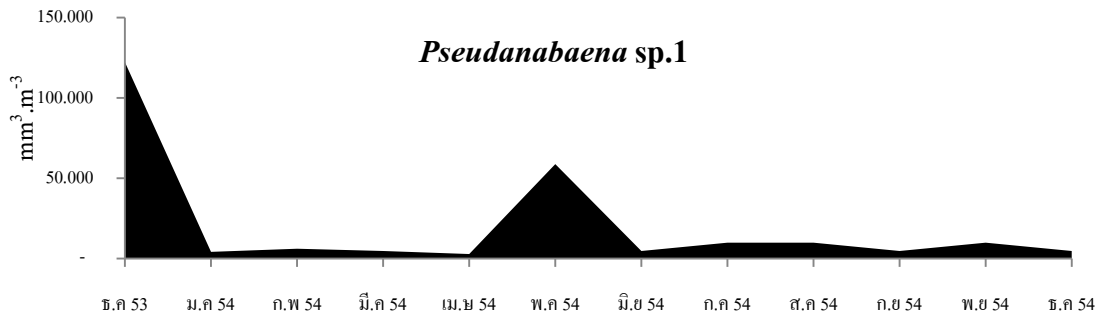
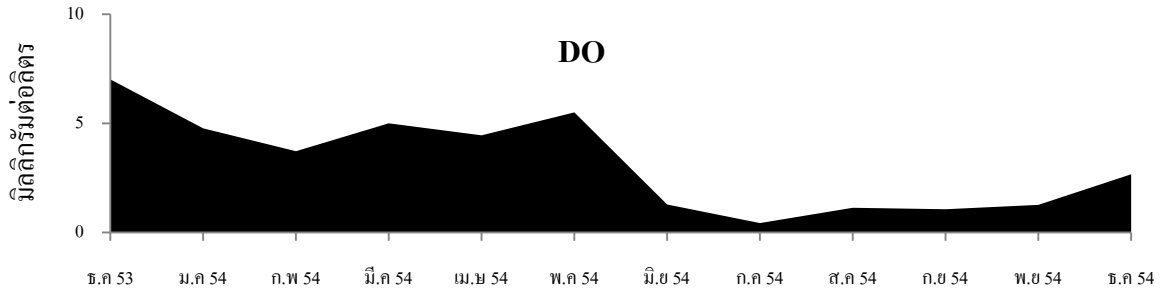
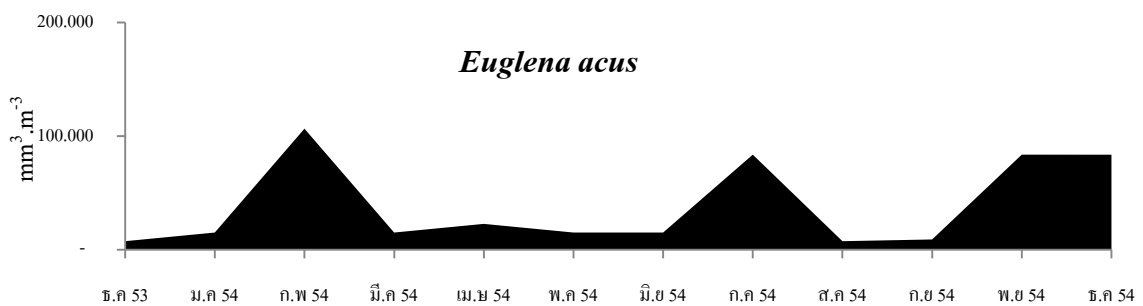
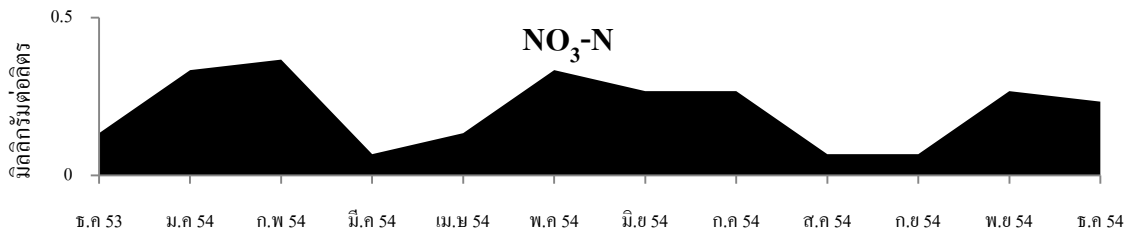


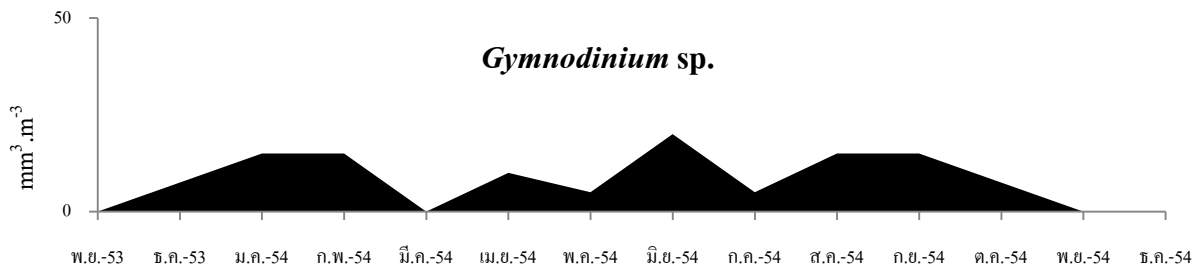
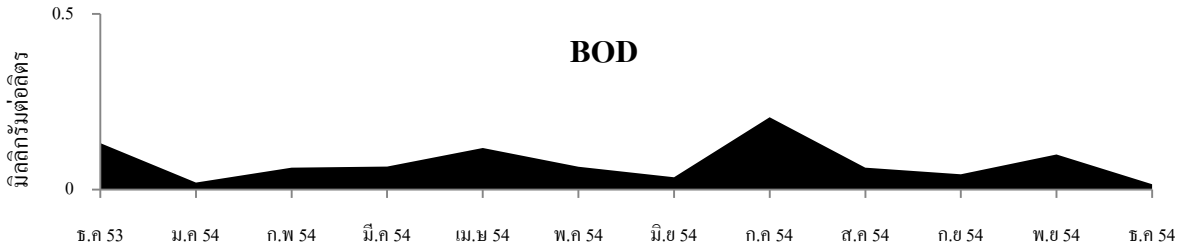
ภาพที่ 146 แสดงการเปรียบเทียบความสัมพันธ์ระหว่างค่าความเป็นด่าง (Alkalinity) ค่าของแข็งละลายในน้ำ (SS) ปริมาณไนเตรท - ไนโตรเจน (NO<sub>3</sub>-N) และปริมาณชีวภาพของ *Phromidium sp.* ซึ่งเป็นแพลงก์ตอนพืชชนิดเด่นใน จุดเก็บตัวอย่างน้ำที่ 1 บริเวณแหล่งน้ำพื้นที่พิพิธภัณฑ์บัว ช่วงเดือน ธันวาคม พ.ศ. 2553 ถึง เดือนธันวาคม พ.ศ. 2554



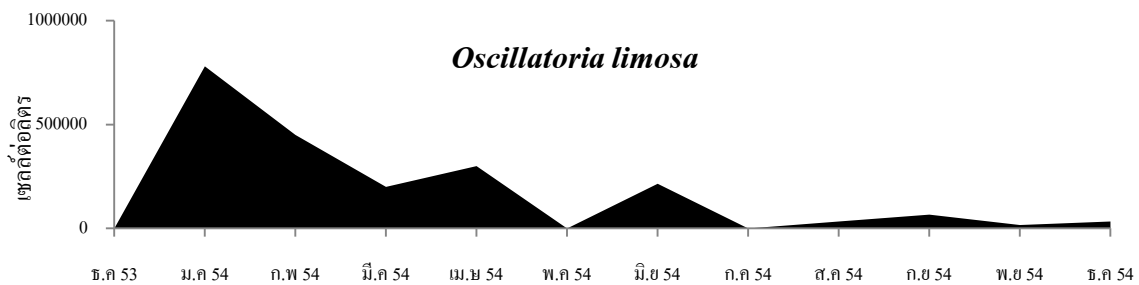
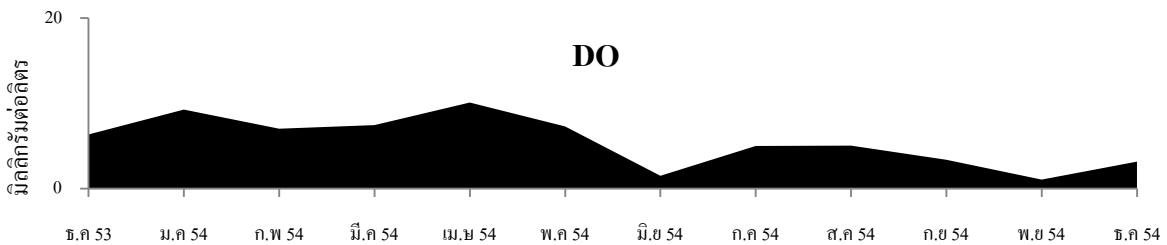
ภาพที่ 147 แสดงการเปรียบเทียบความสัมพันธ์ระหว่าง ปริมาณออกซิเจนละลายน้ำ (DO) และปริมาณชีวภาพของ *Pseudanabaena sp.1* ซึ่งเป็นแพลงก์ตอนพืชชนิดเด่นใน จุดเก็บตัวอย่างน้ำที่ 3 บริเวณแหล่งน้ำพื้นที่พิพิธภัณฑ์บัว ช่วงเดือนธันวาคม พ.ศ. 2553 ถึง เดือนธันวาคม พ.ศ. 2554



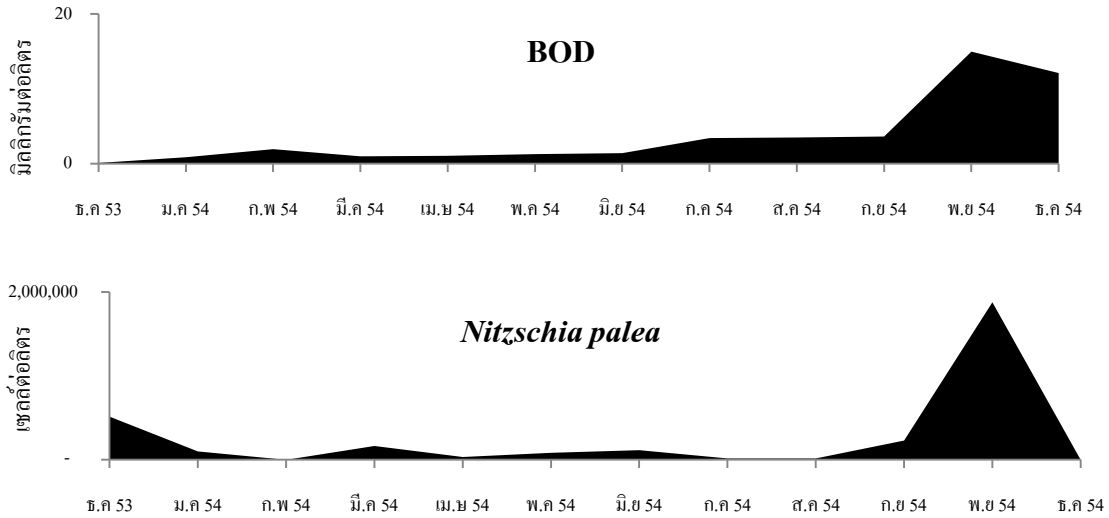
ภาพที่ 148 แสดงการเปรียบเทียบความสัมพันธ์ระหว่างปริมาณไนเตรท - ไนโตรเจน (NO<sub>3</sub>) และปริมาณชีวภาพของ *Euglena acus* ซึ่งเป็นแพลงก์ตอนพืชชนิดเด่นใน จุดเก็บตัวอย่างน้ำที่ 4 บริเวณแหล่งน้ำพื้นที่พิพิธภัณฑ์บัว ช่วงเดือนธันวาคม พ.ศ. 2553 ถึง เดือนธันวาคม พ.ศ. 2554



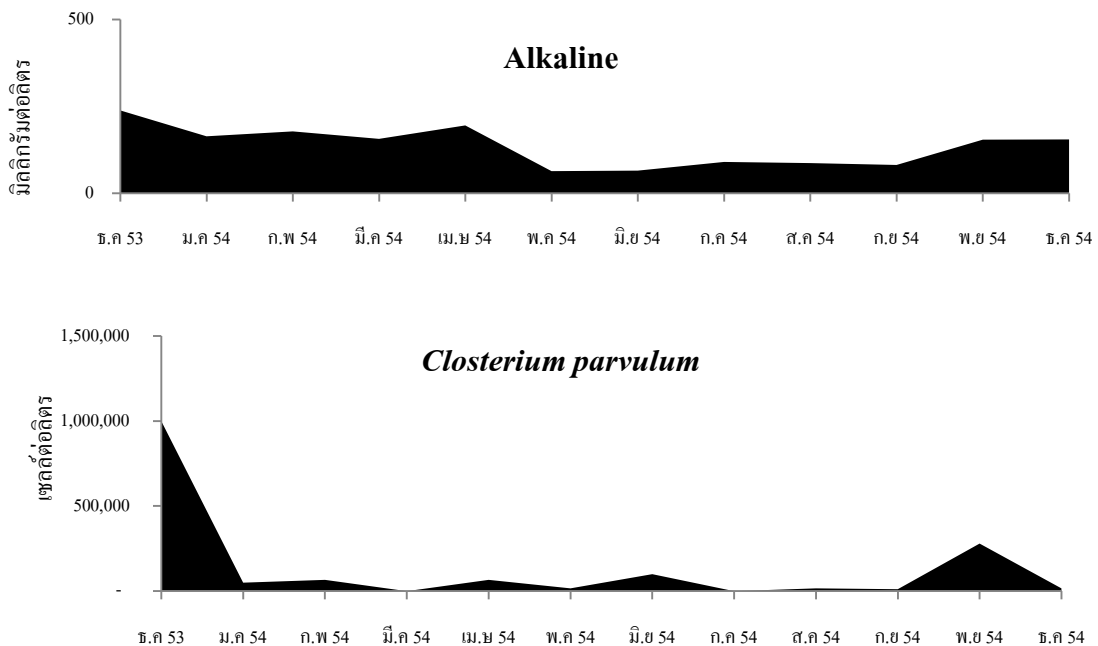
ภาพที่ 149 แสดงการเปรียบเทียบความสัมพันธ์ระหว่าง ปริมาณออกซิเจนที่จุลินทรีย์ใช้ในการย่อยสลายสารอินทรีย์ (BOD) และปริมาณชีวภาพของ *Gymnodinium sp.* ซึ่งเป็นแพลงก์ตอนพืชชนิดเด่นในจุดเก็บตัวอย่างน้ำที่ 5 บริเวณแหล่งน้ำพื้นที่พิพิธภัณฑ์บัว ช่วงเดือนธันวาคม พ.ศ. 2553 ถึง เดือนธันวาคม พ.ศ. 2555



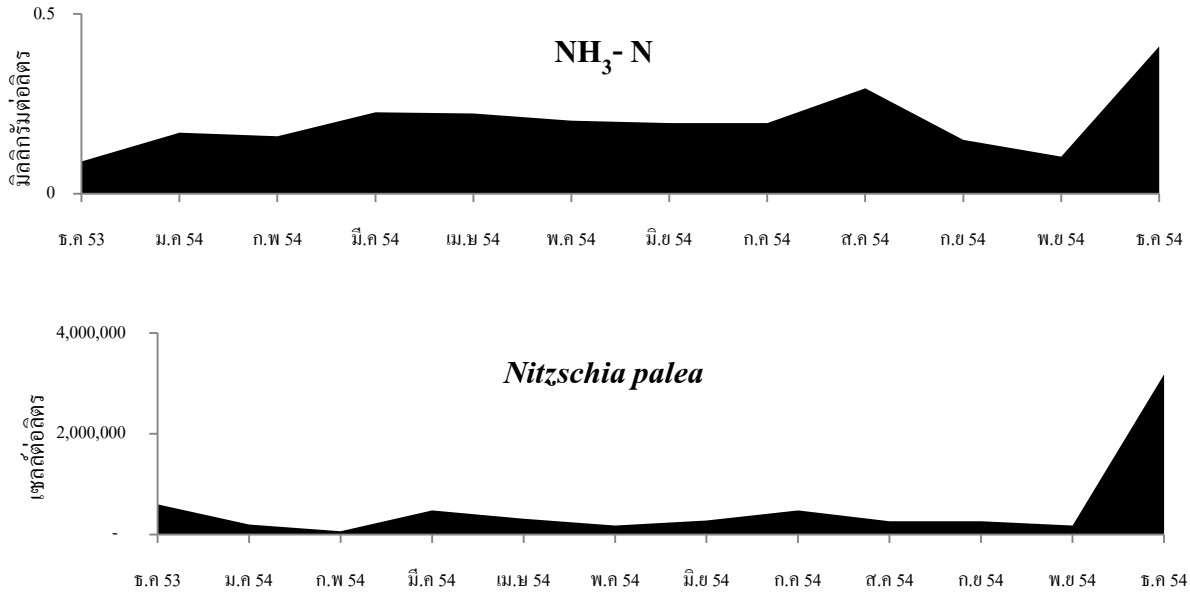
ภาพที่ 150 แสดงการเปรียบเทียบความสัมพันธ์ระหว่าง ปริมาณออกซิเจนละลายน้ำ (DO) และจำนวนเซลล์ของ *Oscillatoria limosa* ซึ่งเป็นสาหร่ายยึกเกาะบัวชนิดเด่นในจุดเก็บตัวอย่างน้ำที่ 1 บริเวณแหล่งน้ำพื้นที่พิพิธภัณฑ์บัว ช่วงเดือนธันวาคม พ.ศ. 2553 ถึง เดือนธันวาคม พ.ศ. 2554



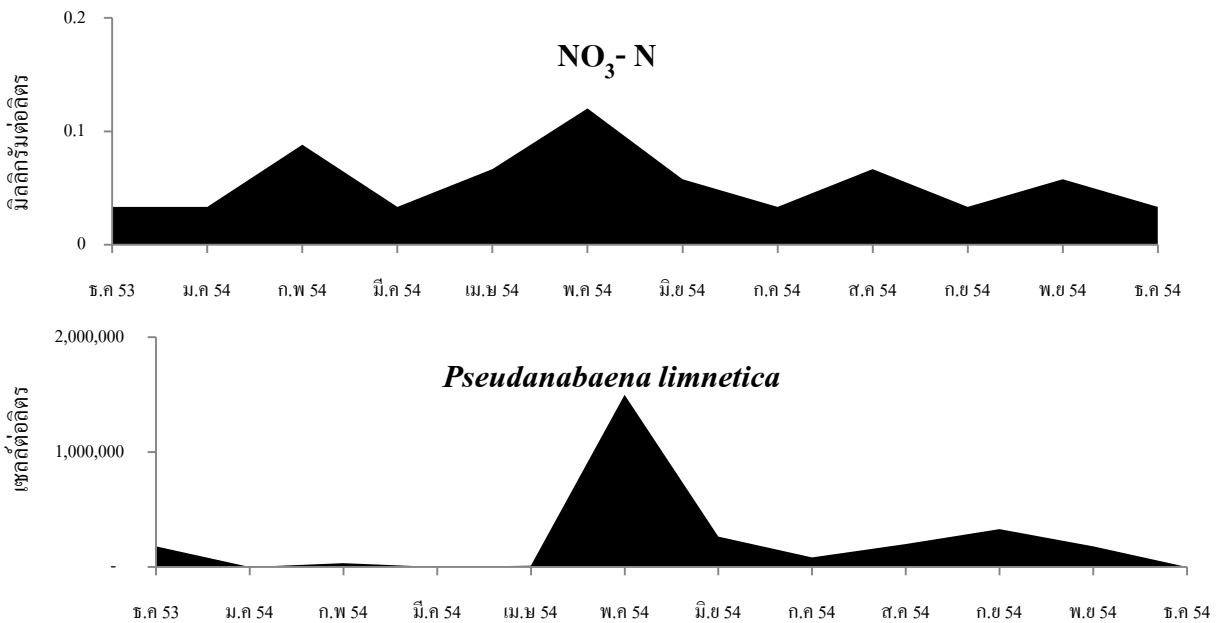
ภาพที่ 151 แสดงการเปรียบเทียบ ความสัมพันธ์ระหว่าง ปริมาณออกซิเจนที่จุลินทรีย์ใช้ในการย่อยสลายสารอินทรีย์ (BOD) และจำนวนเซลล์ของ *Nitzschia palea* ซึ่งเป็นสาหร่ายยี่ดเกาะบัวชนิดเด่นใน จุดเก็บตัวอย่างน้ำที่ 2 บริเวณแหล่งน้ำพื้นที่พิพิธภัณฑ์บัว ช่วงเดือนธันวาคม พ.ศ. 2553 ถึง เดือนธันวาคม พ.ศ. 2554



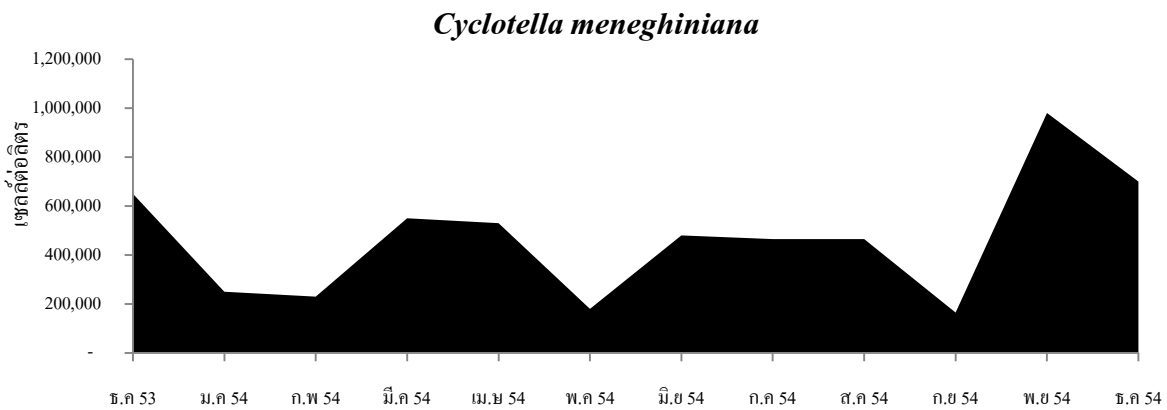
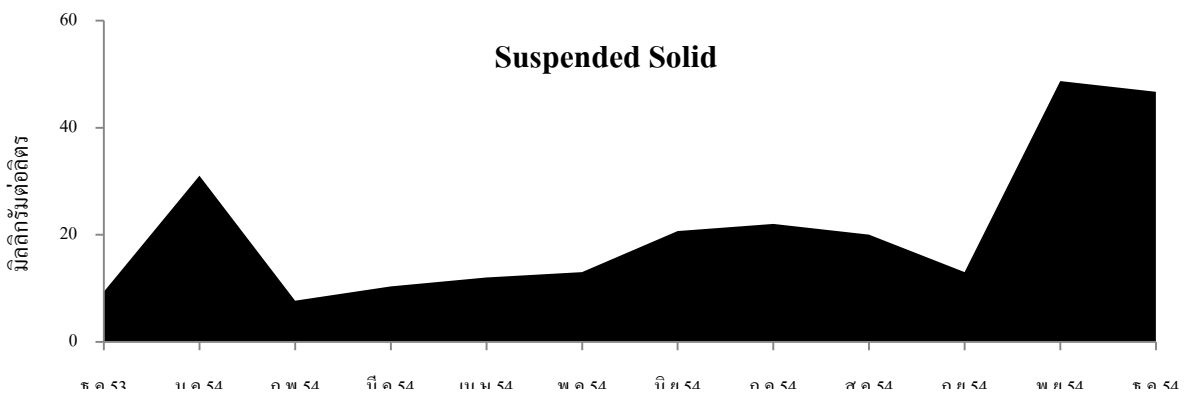
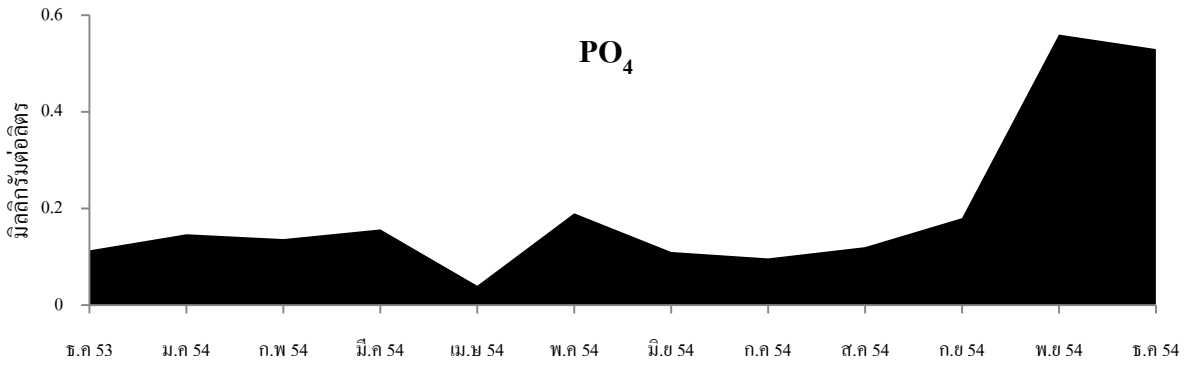
ภาพที่ 152 แสดงการเปรียบเทียบ ความสัมพันธ์ระหว่าง ค่าความเป็นด่าง (Alkalinity) และจำนวนเซลล์ของ *Closterium parvulum* ซึ่งเป็นสาหร่ายยี่ดเกาะบัวชนิดเด่นใน จุดเก็บตัวอย่างน้ำที่ 2 บริเวณแหล่งน้ำพื้นที่พิพิธภัณฑ์บัว ช่วงเดือนธันวาคม พ.ศ. 2553 ถึง เดือนธันวาคม พ.ศ. 2554



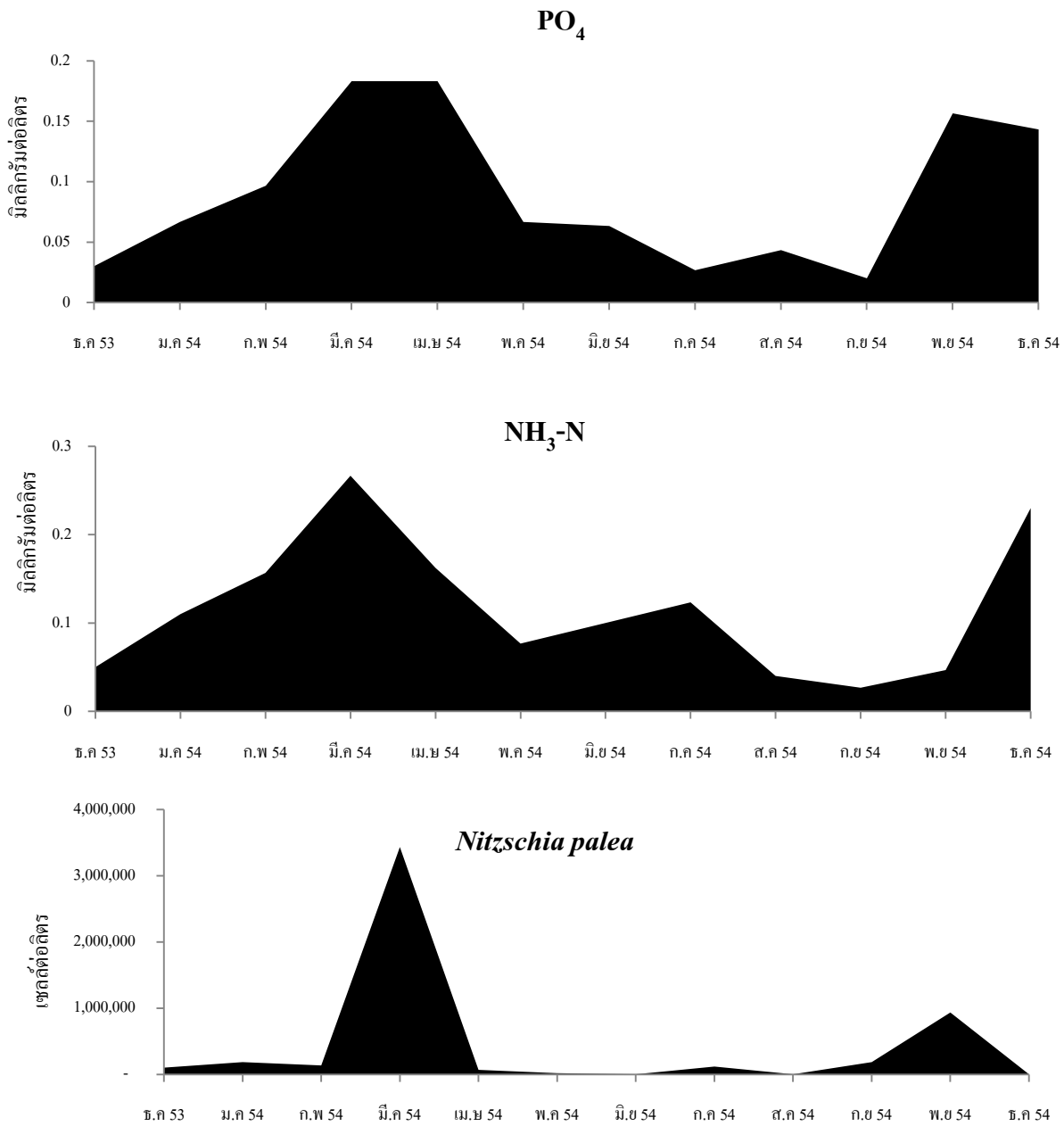
ภาพที่ 153 แสดงการเปรียบเทียบความสัมพันธ์ระหว่างแอมโมเนีย - ไนโตรเจน (NH<sub>3</sub>-N) และจำนวนเซลล์ของ *Nitzschia palea* ซึ่งเป็นสาหร่ายยืดเกาะบัวชนิดเด่นใน จุดเก็บตัวอย่างน้ำที่ 5 บริเวณแหล่งน้ำพื้นที่ พิพิธภัณฑ์บัว ช่วงเดือนธันวาคม พ.ศ. 2553 ถึง เดือนธันวาคม พ.ศ. 2554



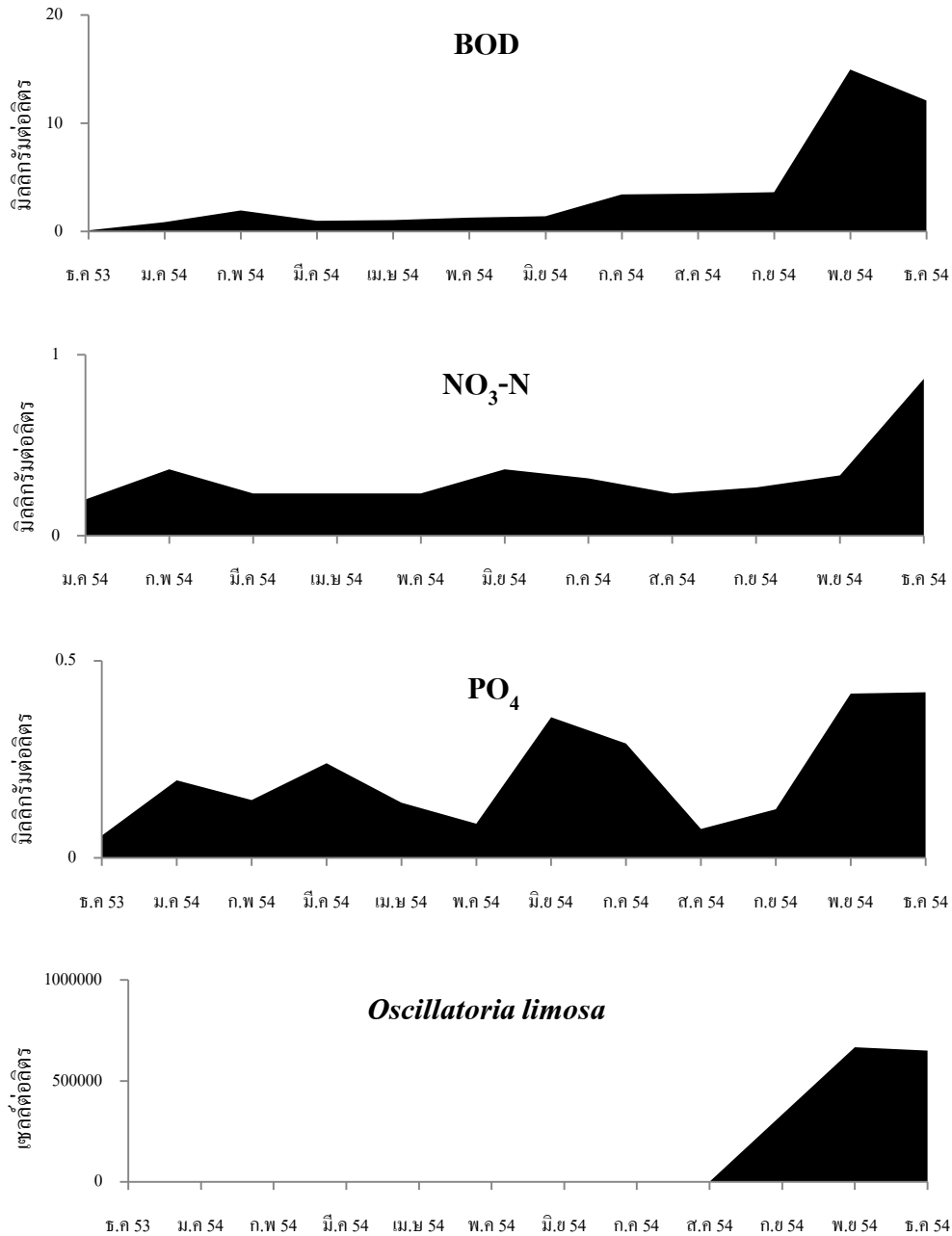
ภาพที่ 154 แสดงการเปรียบเทียบความสัมพันธ์ระหว่างแอมโมเนีย - ไนโตรเจน (NH<sub>3</sub>-N) และจำนวนเซลล์ของ *Pseudanabaena limnetica* ซึ่งเป็นสาหร่ายยืดเกาะบัวชนิดเด่นใน จุดเก็บตัวอย่างน้ำที่ 5 บริเวณแหล่ง น้ำพื้นที่พิพิธภัณฑ์บัว ช่วงเดือนธันวาคม พ.ศ. 2553 ถึง เดือนธันวาคม พ.ศ. 2554



ภาพที่ 15 แสดงการเปรียบเทียบความสัมพันธ์ระหว่างค่าของแข็งละลายในน้ำ (SS) ปริมาณออร์โธฟอสเฟต และจำนวนเซลล์ของ *Cyclorella meneghiniana* ซึ่งเป็นสาหร่ายยีสดเกาะบัวชนิดเด่นใน จุดเก็บ ตัวอย่างที่ 5 บริเวณแหล่งน้ำพื้นที่พิพิธภัณฑ์บัว ช่วงเดือนธันวาคม พ.ศ. 2553 ถึง เดือนธันวาคม พ.ศ. 2554



ภาพที่ 156 แสดงการเปรียบเทียบความสัมพันธ์ระหว่างปริมาณออร์โธฟอสเฟต ปริมาณแอมโมเนีย - ไนโตรเจน (NH<sub>3</sub>-N) และจำนวนเซลล์ของ *Nitzschia palea* ซึ่งเป็นสาหร่ายชนิดเกาะสาหร่ายหางกระรอกชนิดเด่น ในจุดเก็บตัวอย่างที่ 1 บริเวณแหล่งน้ำพื้นที่พิพิธภัณฑ์บัว ช่วงเดือนธันวาคม พ.ศ. 2553 ถึง เดือนธันวาคม พ.ศ. 2554



ภาพที่ 157 แสดงเปรียบเทียบความสัมพันธ์ระหว่าง ปริมาณออกซิเจนที่จุลินทรีย์ใช้ในการย่อยสลายสารอินทรีย์ (BOD) ปริมาณออร์โทฟอสเฟต ปริมาณไนเตรต - ไนโตรเจน (NO<sub>3</sub>-N) และจำนวนเซลล์ของ *Oscillatoria limosa* ซึ่งเป็นสาหร่ายยึกเกาะสาหร่ายทางกระรอกชนิดเด่นใน จุดเก็บตัวอย่างน้ำที่ 2 บริเวณแหล่งน้ำพื้นที่พิพิธภัณฑ์บัว ช่วงเดือนธันวาคม พ.ศ. 2553 ถึง เดือนธันวาคม พ.ศ. 2554